东莞林科园土壤水分的空间异质性

能咏梅1,朱剑云2,叶永昌2,刘颂颂2,苏志尧1

(1华南农业大学 林学院, 广东 广州 510642, 2东莞林业科学研究所, 广东 东莞 523106)

摘要:基于 20个 150 m×150 m 的网格对东莞林科园进行土壤剖面取样,探讨其土壤水分的水平与垂直空间分布规 律. 研究结果 表明. 土壤水分的水平分布 规律是除自然含水量为显著差异 (P=0.026~8) 外, 土壤 容重 $(P=0.0003\times10^{-4})$ 、最大持水量(P=0.0030)、田间持水量(P=0.0014)、毛管持水量(P=0.0019)和总孔隙度 $(P=0.000~2\times10^{-4})$ 均为极显著差异; 垂直分布规律是土壤容重随土层深度的增加而增加, 但异质性不显著 $(P=0.000~2\times10^{-4})$ 均为极显著差异; 垂直分布规律是土壤容重随土层深度的增加而增加, 但异质性不显著 $(P=0.000~2\times10^{-4})$ 0.381 2), 最大持水量 (P=0.010 2), 田间持水量 (P=0.018 2), 毛管持水量 (P=0.082 2)和土壤总孔隙度 (P=0.413 6)随土层深度的增加而减少,但其中毛管持水量和土壤总孔隙度的差异不显著,土壤自然含水量表层 $0 \sim 20$ cm的较小, 土层 $20 \sim 40$ cm 的最小, 土层 $40 \sim 60$ cm 的最大, 且各层次之间的自然含水量的异质性不显著 (P=0.7558).对 5个土壤水分指标进行主成分分析(PCA)表明。第一和第二主成分分别解释了 68.56%、18.71%的变异, 即土壤水分特征主要由最大持水量、田间持水量, 毛管持水量和总孔隙度决定的.

关键词: 土壤; 水分; 空间异质性; 东莞

中图分类号: S714

文献标识码: A

文章编号: 1001 411X(2006)03 0021 05

Spatial Heterogeneity of Soil Moisture Content in Dongguan Forest Experim en tal Park

X DNG Yong-mei, ZHU Jian yun, YE Yong-chang, LU Song song, SU Zhi yao (1 College of Forestry, South China Agric Unix, Guangzhou 510642 China 2 Dongguan Institute of Forestry Research Dongguan 523106 China)

Abstract Soil moisture characteristics and horizontal and vertical distribution of them were explored based on samples collected from 20 profiles using a grid system of 150 m × 150 m superimposed on the study area of Dongguan Forest Experimental park. The results of this study showed that horizontal gradient in moisture content was significant (P=0.026.8), and in buck density ($P=0.000.3\times10^{-4}$), maximum moisture capacity $(P = 0.003 \, 0)$, field capacity $(P = 0.001 \, 4)$, capillary moisture capacity $(P = 0.001 \, 4)$ (0.001.9) and total poinsity $(P=0.000.2\times10^{-4})$ was highly significant between the 20 soil profiles. As for vertical distribution, maximum moisture capacity (P=0.010.2), field capacity (P=0.018.2), capillary moisture capacity (P=0.0822) and total soil porosity (P=0.4136) decreased with soil depth except the water content (P=0.755~8), but the bulk density (P=0.381~2) increased with soil depth. The principal component analysis (PCA) was employed to characterize five soilmoisture indexes. The results demonstrated that the soilmoisture was determined by the maximum moisture capacity, field capacity, capillary moisture capacity and total soil porosity.

Key words soil moisture, spatial heterogeneity, Dongguan

作为全球水资源的重要组成部分,土壤水在全 球水循环中具有重要的意义[1].一方面,土壤水通过

植被的蒸腾和土壤表面的蒸发扩散到大气中[3;另 一方面,土壤水充当降水与地下水相互转换的媒 介[3]. 土壤水分状况与土地生产力和植被分布类型 等有密切的相关性[45],且土壤水的运动功能对农业 生产和生态环境的维护具有决定性作用,因此土壤 水分的异质性受到研究者们的关注与重视 [6] . 土壤 水分存在着空间异质性并受到多因素的影响, 如时 间动态、层次格局、坡度、坡位、海拔、土地利用方式 等都会影响到土壤水分的空间异质性[78].国内外关 于土壤水空间异质性的研究多集中于干旱或半干旱 地区[910],关于我国华南地区的森林土壤水分的空间 异质性的研究报道不多见。且大多数研究是按特定 地形地貌来确定采样点[78]. 本研究是基于网格法对 东莞林科园进行土壤剖面取样,比较客观地反映小 区域内的土壤水分状况. 土壤水分的空间异质性研 究使得土壤含水量的测定具有代表性,较为真实地 反映土壤的水文状态[6]. 本研究选取了能代表土壤 水分状况且较易获得的 4个土壤水分指标,通过网 格法确定采样点和室内测定,研究了东莞林科园土 壤水分的空间异质性, 以揭示其土壤水分的空间分 布规律及吸储水能力与土地利用类型的关系,从而 为东莞林科园的土地规划和今后的景观管理提供科 学的依据, 也为华南地区森林土壤水分的空间异质 性研究及土地利用类型的改变对土壤水分的空间分 布格局的影响提供参考依据.

1 研究方法

1.1 研究地区概况

东莞林科园位于东莞市东南部郊区(22°57 N, 113°47'E),属南亚热带海洋季风性气候区,海拔 120 m. 全年平均气温 22~1 °C,最高月(7月)均温 28.2 °C,最低月(1月)均温 13.4 °C,绝对高温为 37.9 °C,绝对低温为 -0.5 °C. 年雨量丰富,平均年降水量 1.800 mm,其中 80%集中在 4~9月份. 研究区域是一块 "U"形的低丘陵地,总面积 45~1 m². 土壤类型为花岗岩母质发育的赤红壤,土层深厚但石砾含量较多.

东莞林科园内原生植被已被破坏,现存多为人工种植的台湾相思 Acacia confusa、马尾松 Pinus mas soniana、重阳木 B ischofia polycarpa. 树菠萝 Artocarpus heterophy llus. 马占相思 Acacia mang im、柠檬桉 Eucalyptus maculata、妃子笑 Litchi ch inensis 龙眼 Dinocarpus longan、芒果 Mang ifera ind ica、流苏相思 Acacia fin briata、翅荚决明 Cassia a lata 等纯林,人工幼林,果园和苗圃、灌木有车轮梅 Rhaphiolopis indica、长寿

花 Ixora chinensis. 野牡丹 Melastma candidum、山指甲 Ligustrum sinense. 桃金娘 Rhodomyrtus tomentosa、鬼灯笼 Clerodendron fortuna tom、余甘子 Phyllanthus en blica、三桠苦 Evodia lepta、潺槁木姜子 Litsea glutinosa等,下层植物有马缨丹 Lautana camara、芒草 Miscanthus sinensis. 芒萁 Dictanopteris dicho tomy. 乌毛蕨 Blechnum orientale. 菝葜 Smilax china、山菅兰 Dianella ensifolia、两耳草 Paspa tom conjugatom、三叶鬼针草 Bidens pi bsa、胜红蓟 Agenatom conyzo ides. 鸡矢藤 Paederia scandens. 玉叶金花 Mussaenda pubescens. 半边旗 Pteris sem ipinnata等. 调查中还发现,有害入侵植物微甘菊 Mikania micrantha 在多个样地出现,须加以防治.

1 2 野外取样及试验测定

利用网格法将研究区域分为 20个 150 m×150 m 的网格,其中处于边缘的网格的面积超过一半就算为一个网格,小于一半的就合并到相邻的网格中.每个网格的中心点为土壤的采样点.采样时间为2004年8月.土壤剖面为70 cm×200 cm×120 cm,分3个层次进行土样采集(分别为0~2020~40和40~60 cm).调查并记录每个样地的坡向、坡位、坡形、地貌类型、坡度、海拔6个地下因子以及土地利用类型与林下植被.自然含水量用酒精燃烧法测定,容重、最大持水量和田间持水量等用环刀法测定.

1.3 数据处理

试验数据以平均值 ±标准误表示,对试验数据进行单因素方差分析 (one way ANOVA)和主成分分析 (principle component analysis PCA),所有数据分析在 STATISTICA 5.5统计软件 [11] 中完成.

2 结果与分析

2 1 土壤水分的水平分布

从表 1可以看出东莞林科园土壤物理性质的水平分布格局. 土壤容重在 0 77~1.63 g· cm⁻³之间变动. 经过 F 检验, 20个土壤剖面的容重之间有极显著差异 (P=0 000 3×10⁻⁴). 土壤剖面 4 的容重最大,平均值为 1.63 g· cm⁻³,变异系数仅为 0 20%. 剖面 4处于多年生树种的苗圃地,几乎没有地表植被,久未翻耕且人为践踏严重,因此,土壤极紧实且各层容重的差异不大. 剖面 18 的容重为 0 81 g· cm⁻³,变异系数为 2 75%. 剖面 18是人为抚育施肥的小叶榕苗圃地,没有任何杂草,土壤 3层都疏松,没有较大差异. 剖面 17为常绿阔叶树种与荔枝混交林,林下植被丰富,其土壤容重为 1.18 g· cm⁻³ 变异系数为 11.16%. 剖面 20为荔枝

纯林, 土壤容重为 $1.50 \text{ g} \cdot \text{ m}^{-3}$, 变异系数为 同的人为干扰对土壤容重的影响较大. 2.43%. 对土壤容重的研究结果表明, 不同植被和不

表 1 东莞林科园土壤水分性状指标的水平分布

Tah 1 Horizontal distribution of soil moisture attributes in Dongguan Experimental Forestry Park

		土壤容重	自然含水量	田间持水量	最大持水量	毛管持水量	4.7 欧庄
土壤剖面		bulk density/	w ater	field capacity	m ax m o isture	capillary	总孔隙度
soil profi	le land use	(g· cm ⁻³)	conten (w) 1/0	$(w) \mathcal{V}_0$	capacity(w) 1/0	moisture	total porosity $1/6$
_		(g ()		, , , ,	eapacity("," "," ","	capacity(w) 🎉	
1	果园 orchard	144 ± 002	15. 1 ± 1 . 44	85. 2 ± 3 49	91. 5 ± 3 . 75	$31\ 3\pm0\ 83$	45. 5±0. 45
2	幼林 new plantation	1 44 ± 0.05	22 6 \pm 1. 30	90. 7 ± 4 31	97. 1±5. 10	$25\ 6\pm1\ 15$	45. 7 ± 2.03
3	幼林 new plantation	141 ± 003	12 2 \pm 1. 40	95. 2 ± 1 31	102 5 \pm 1. 79	$26\ 4\pm0\ 81$	47. 3±0. 85
4	苗圃 nu rse ry	163 ± 000	25. 5±0. 98	78 3 \pm 0 37	82 2 ± 0 20	36.6 ± 2.23	40.9 ± 0.12
5	幼林 new plantation	$1\ 36\pm0\ 02$	19. 3±1. 34	97. 0 ± 2 11	103. 2 ± 2 38	$36\ 5\pm 2\ 81$	49. 7±0. 76
6	相思林 Acacia plantation	1 54 ± 0.02	17. 5±0. 94	82 8 \pm 0 30	88. 1 ± 0.57	26.6 ± 3.03	42 7 ± 0.73
7	果园 orchard	$1 \ 39 \pm 0 \ 02$	18 1 \pm 0 83	88 8 \pm 1 76	96. 5±1. 79	27. 7 ± 0 66	47. 4±0. 93
8	果园 orchard	155 ± 001	18 2 ± 0 60	81. 7 ± 0 89	86 8 ± 0.79	$26\ 4\pm1\ 08$	41. 3±0. 56
9	相思林 Acacia plantation	148 ± 005	15. 0 ± 2.00	90 6 ± 3 39	98. 2 ± 3.87	$28\ 5\pm1\ 99$	44. 9 ± 1 . 76
10	相思林 Acacia plantation	$1\ 35\pm0\ 07$	17. 3±1. 63	106 6 ± 6 38	112 9 \pm 7. 07	$25\ 7\pm1\ 44$	49. 9 ± 2.70
11	幼林 new plantation	156 ± 006	22 9 \pm 1. 10	85. 1 ± 4 69	89. 9±4. 96	31.7 ± 3.28	41. 6 ± 2.58
12	果园 orchard	128 ± 008	19.8±1.90	105. 4±6 57	113.3±7.88	$32\ 1\pm1\ 72$	526 ± 282
13	果园 orchard	$1\ 29\pm0\ 05$	17. 7±1. 61	107. 6 ± 4 40	115.7±4.97	$25\ 8\pm0\ 75$	52. 1 ± 1 . 78
14	果园 orchard	146 ± 001	17. 3±0. 60	89. 6 ± 0 93	96. 9±1. 17	$23\ 0\pm0\ 34$	44. 8±0. 42
15	果园 orchard	$1\ 21\pm0\ 06$	20. 1 ± 1 . 58	115. 3±6 09	125. 3±8. 00	$23\ 0\pm1\ 82$	55. 7±2 09
16	果园 orchard	$1 \ 37 \pm 0 \ 03$	16 1 \pm 1. 32	95. 2 ± 5 10	101. 6±5. 16	$23\ 3\pm0\ 80$	48. 8 ± 1 . 25
17	果园 orchard	118 ± 013	20. 8 ± 1 . 20	91. 6 ± 2 48	97. 9±2. 67	$24\ 0\pm1\ 70$	55. 5±5. 09
18	苗圃 nu rse ry	081 ± 002	19.9±0.79	80 9 ± 3 12	86 4±3 43	27.0 ± 0.18	69. 4±0. 65
19	果园 orchard	077 ± 001	20. 8±1. 66	87. 6 ± 1 40	93. 5±1. 63	33.6 ± 3.24	71. 7±0. 45
20	果园 orchard	1 50±0 04	19. 3±1. 56	80 9 ± 2 61	88 1±3 23	19 6±1 31	43. 9±1. 15

东莞林科园土壤水分的水平分布的差异性显 著. 除自然含水量为显著差异外 (P=0.026.8), 最大 持水量 $(P=0\ 003\ 0)$. 田间持水量 $(P=0\ 001\ 4)$. 毛 管持水量 $(P=0\ 001\ 9)$ 和总孔隙度 $(P=0\ 000\ 2\times$ 10-4)为极显著差异. 各剖面土壤的自然含水量在 12. 2% ~25. 5%之间,平均为 18. 8%. 剖面 3是位于 山顶的人工幼林,只有零星的草本植物,自然含水量 最低(12.2%),且各层的差异性最大(变异系数为 11. 46%). 剖面 4是位于平地的苗圃园, 自然含水量 最大,且各层的差异性小(变异系数为 3 83%).研 究结果表明, 剖面 10.12.13和 15的田间持水量和最 大持水量最大, 剖面 4 8 18和 20的田间持水量和 最大持水量最小. 土壤毛管持水量的范围为 19. 6%~36 6%,不同剖面的毛管持水量有极显著 差异 (P=0.0019). 土壤 总孔 隙度 在 40.9% ~ 71. 7%之间变动, 平均为 49. 6%. 剖面 4的总孔隙度 最小, 剖面 19的最大, 各层的差异性较小 (变异系数 分别为 0 29%、0 69%). 因此,不同的土地利用方式 与管理措施是造成土壤水分水平分布有显著性差异

的主要因素之一.

2 2 土壤水分的垂直分布

东莞林科园土壤水分性状的垂直分布如图 1所 示. 土壤 0 ~ 20 m 表土容重的平均值为 $1.29 \text{ g} \cdot \text{ m}^{-3}, 40 \sim 60 \text{ m}$ 土层容重的平均值为 1.40 g· m⁻³.土壤容重随着土层深度的增加而逐 渐增加(图 1a),不同植被类型下的土壤容重的垂直 异质性不显著 (P=0.381.2). 最大持水量、田间持水 量、毛管持水量和土壤总孔隙度是随着土层深度的 增加而减少 (图 1c~f). 东莞林科园土壤 0~20.20~ 40和 $40 \sim 60$ cm 的最大持水量 (P = 0.010.2)、田间 持水量 $(P=0\ 0.018\ 2)$ 有显著差异性表明,最大持水 量和田间持水量是随着土层的增加而急剧减少;不 同土层的毛管持水量 (P=0 082 2) 和总孔隙度 (P=0.413.6)的减少幅度不显著. 因此, 不同土地利 用类型与植被覆盖下的土壤容重、毛管持水量和总孔 隙度的垂直分布差异性不显著,田间持水量和最大持 水量的垂直分布的差异性显著. 土壤表层 0~20 cm 的 自然含水量较小,平均为 18 77%,变异系数为

6.30%; 土层 $20 \sim 40$ m 的自然持水量最小,为 18~25%, 变异系数为 5~38%; 土层 $40 \sim 60$ m 的自然 持水量最大,为 19~29%,变异系数为 4~26%. 不同土层的自然含水量的异质性不显著 (P=0~755~8)的结果

表明,不同土地利用类型与植被覆盖下的土壤自然含水量的垂直分布没有异质性,且土层 40~60 cm的自然含水量的变异性相对较小(变异系数为4 26%).

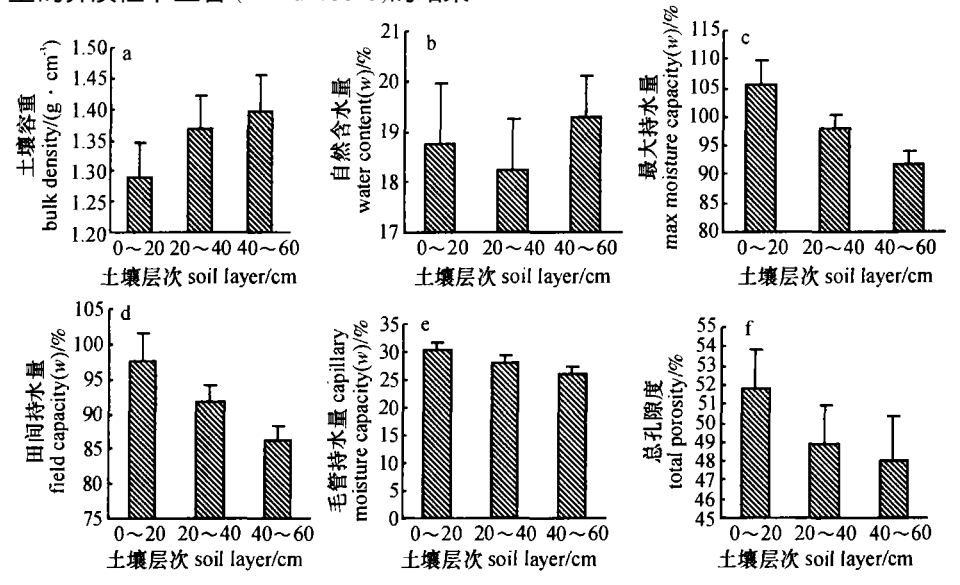


图 1 东莞林科园土壤水分性状指标的垂直分布

Fig. 1 Vertical distribution of soilmoisture attributes in Dongguan Experimental Forestry Park

2 3 土壤水分的主成分分析

主成分分析是最简单同时也是最老的一种基于特征向量的分析方法. 将东莞林科园自然含水量、最大持水量、田间持水量、毛管持水量和总孔隙度 5个因子进行主成分分析, 其结果如图 2所示. 其中第 1主成分和第 2主成分分别解释了 68 56%和 18 71%的变量. 即东莞林科园的土壤水分特征主要由最大持水量、田间持水量、毛管持水量和总孔隙度决定的, 自然含水量对土壤水分性状的评价所占比重较小, 不足以影响土壤水分性状. 依据图 2的分析结果可将 20个土壤剖面分为 3个类型: 类型 I 包括 18 19号土壤剖面, 类型 II包括 10. 12 13 15号土壤剖

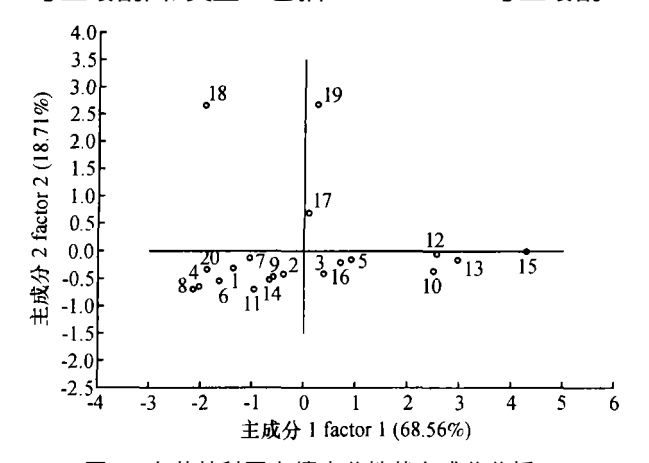


图 2 东莞林科园土壤水分性状主成分分析

Fig 2 Principal component analysis of the soil moisture attrib

面,类型III包括 14个土壤剖面(1、2、3、4、5、6、7、8、9、11、14、16、17、20号). 类型 I 的土地利用类型包括 苗圃和果园,类型 II 的土地利用类型包括相思林和果园,类型 III的包括苗圃、果园、人工幼林和相思林.由此可见,依据东莞林科园土壤水分性状的主成分分析结果而进行的土壤分类,反映了土壤水分性状的综合特征,表明在不同经营措施下的同种土地利用类型的土壤水分性状具有异质性.

3 讨论

一个地区的自然土壤水分状况主要是受大气降雨和温度的影响^[4],但在人为干扰比较严重的东莞林科园,主要是人为耕作和经营的土地类型,而且不同树种对土壤水分空间分布的影响很大^[5],因此,东莞林科园土壤水分性状表现出其本身的规律.在单个指标很难真实地反映土壤水分的状况下,本文选择了土壤容重、自然含水量、最大持水量、田间持水量、毛管持水量和总孔隙度来反映土壤水分性状,并对其空间异质性进行了探讨.

本文对土壤水分异质性的研究结果与土壤水分一般从剖面上部向下逐渐减少、表层土壤水分含量的变幅较大的研究结论相符^[12],且在不同土地利用方式和植被覆盖下的土壤水分的水平差异性显著,因此,在研究区域的水分状况时,应考虑到土壤水分分布的异质性,在全球温暖化的趋势下,土壤呼吸与

utes in Dongguan Experimental Forestry Park ?1994-2015 China Academic Journal Electronic Publishing House, All rights reserved. http://www.chki.net 温室效应之间正反馈关系势必影响到未来陆地生态系统功能与全球变化的趋势[15-14],而土壤水分对土壤呼吸的温度敏感性有一定的影响[15],因此,在研究全球温室效应及其产生的后果时,应该考虑到土壤水分含量的变化及其空间分布,从而正确且较为真实地评估土壤水分对全球温暖化的影响。土壤水分的空间变异性随取样尺度的不同而有所不同[16],而且所选表征森林土壤水分含量的指标没有统一性,这也是今后的研究中应该考虑的问题。

参考文献:

- [1] 张钟军,孙国清,朱启疆. 植被层对被动微波遥感土壤水分反演影响的研究[J]. 遥感学报 2004 8(3); 207 213.
- [2] GALICIA L. LOPEZ-BLANCO J. ZARCO-ARISTA A E. et al. The relationship between solar radiation interception and soil water content in a tropical deciduous forest in Mexico [J]. Gatena. 1999 (36): 153-164.
- [3] 王琦, 张恩和, 李凤民. 半干旱地区膜垄和土垄的集雨 效率和不同集雨时期土壤水分比较 [J]. 生态学报, 2004 24(8): 1820 1823
- [4] 王志强, 刘宝元, 王晓兰. 黄土高原半干旱区天然锦鸡 儿灌丛对土壤水分的影响[J]. 地理研究, 2005 24(1): 113 120.
- [5] RADERSMA S ONG C.K. Spatial distribution of root length density and soil water of linear agroforestry systems in sub-hum id Kenya in plications for agroforestry models
 [J]. Forest Ecobgy and Management 2004 188 77 89
- [6] SCHUME H. JOST G. KATZENSTENER K. et al. Spatio temporal analysis of the soil water content in a mixed Norway spruce (*Picea abies* (L) Karst) European beech (*Fagus sylvatica* L) stand [J]. Geoderna 2003 112

273 287.

- [7] 邱扬, 傅伯杰, 王军, 等. 黄土丘陵小流域土壤水分的空间异质性及其影响因子[J]. 应用生态学报, 2001, 12 (5): 715-720
- [8] 黄奕龙,陈利顶,傅伯杰,等. 黄土丘陵小流域土壤水 分空间格局及其影响因子[J]. 自然资源学报,2005 20 (4): 483 492
- [9] NEWMAN B D. CAMPBELL A R. W. ILCOX B P. Tracer based studies of soilwatermovement in semiarid forests of New Mexico [J]. Journal of Hydrobgy 1997 (196): 251-270.
- [10] 李洪建, 王孟本, 柴宝峰. 黄土高原土壤水分变化的时空特征分析[]]. 应用生态学报, 2003 14(4): 515 519.
- [11] Statsoft Inc. STATISTICA for Windows (Computer program manual) [CP DK]. Tulsa Statsoft Inc., 1997.
- [12] ANDREU V, MESON A G. RUB D J L. et al. Temporal changes in soil aggregates erosion after aw ildfire in a Mediterranean pine forest [J]. Gatena. 2001. 44. 69-84.
- [13] CONANT R T, DALLA-BETT P, KLOPATEK C G, et al. C on trols on soil respiration in semiarid soils [J]. Soil Biology & Biochem is try 2004 36 945-951.
- [14] 陈全胜, 李凌浩, 韩兴国, 等. 典型温带草原群落土壤呼吸温度敏感性与土壤水分的关系[J]. 生态学报。2004 24(4): 83 1-836
- [15] SCOTT-DENTON L.E. SPARKS K. L. MONSON R.K. Spatial and temporal controls of soil respiration rate in a high elevation subalpine forest [J]. Soil Biology & Bio chemistry 2003 35, 525-534.
- [16] 李毅, 门旗 罗英. 土壤水分空间变异性对灌溉决策的影响研究[J]. 干旱地区农业研究 2000 18(2): 80 85 90

【责任编辑 李晓卉】